



## مدل‌سازی پخش جوی در نیروگاه هسته‌ای بوشهر

مسعود فیضی نژاد<sup>۱</sup>، سیروس خاموشی<sup>۲</sup>

۱- نیروگاه هسته‌ای بوشهر، دفتر مطالعات محیطی، سازمان انرژی اتمی ایران، صندوق پستی: ۷۵۱۸۱-۱۱۱، بوشهر - ایران

۲- شرکت فنی مهندسی ساخت ایران، صندوق پستی: ۱۵۸۷۵-۳۴۵۵، تهران - ایران

**چکیده:** مدل کامپیوتری "ADIM1.0" بر پایه توزیع گوسی، برای توصیف فرایندهای پخش جوی، جابجایی آلانددهای رادیوآکتیو گازی و ذرات معلق در هوای نیروگاه هسته‌ای بوشهر طراحی و آماده‌سازی شده است. با این بسته نرم‌افزاری می‌توان غلظت و نرخ نهشت آلودگی‌های رها شده از دودکش واحد یکم نیروگاه را در حالت عادی کار آن و متناسب با شرایط جوی، در نواحی مختلف محوطه نیروگاه حساب کرد. همچنین با داشتن داده‌های محیطی می‌توان با این نرم‌افزار، میزان انتقال رادیونوکلئیدها و مسیر آنها را در محیط‌های گوناگون توأم با ذر مؤثر فردی و گروهی حساب و تعیین کرد. اعتبار کد در برآورد الگوی اعتبار کد در برآورد الگوی پخش برای واحد یکم نیروگاه هسته‌ای بوشهر توسط کارشناسان آژانس بین‌المللی انرژی اتمی در مقایسه با کدهای دیگر آژانس که برای این اهداف تهیه شده مورد تأیید واقع گردیده است.

**واژه‌های کلیدی:** توابع گوسی، نیروگاه‌های هسته‌ای، بوشهر، برنامه نویسی، شبیه‌سازی کامپیوتری، ذره، شبیه‌سازی، پخش جوی

## Atmospheric Dispersion Modeling in Bushehr Nuclear Power Plants

M. Feyzinezhad<sup>1</sup>, C. Khamooshy<sup>2</sup>

1- Environmental Researches of BNPP, AEO I, P.O. Box: 75181-111, Bushehr - Iran

2- Sakht Iran Engineering and Technical Co., P.O. Box: 15875-3455, Tehran-Iran

**Abstract:** A computer model, "ADIM 1.0" based on Gaussian distribution has been developed for description of atmospheric dispersion processes and diffusion of gaseous radioactive airborne pollutants of Bushehr Nuclear Power Plant. The code is capable of computing the concentration and deposition rate of airborne pollutants around the plant site, released from BNPP-1 stack during the normal operation and under different meteorological conditions. On the other hand, code is capable to determine the location for the maximum concentration value, and change evaluation in different states, for example: dry and wet deposition or inversion conditions. By the use of environmental data the code is also capable of computing the transfer of radionuclides through different media and pathways and provides assessment of individual and collective effective dose. The validity of this code was assessed and compared by the IAEA expert group and were found to be in excellent agreement with other codes developed for IAEA.

**Keywords:** Gausian functions, nuclear power plants, Bushehr, programming, computerized simulation, doses, simulation, atmospheric dispersion

\* e-mail: masoudfeizi@yahoo.com

تاریخ پذیرش مقاله: ۸۳/۲/۲۸

تاریخ دریافت مقاله: ۸۲/۸/۱۳

## ۱- مقدمه

است که اوئی براساس تابع انتقال گرادیانی مشتق از معادله تلاطم جرمی در یک جزء حجمی و دومی مبنی بر تئوری آماری تلاطم است که هر دو نتایج یکسانی را بدست می‌دهند. Hanna-1982 و Slade-1968 این تئوریها به تفصیل در کارهای ۱۹۸۳-Gifford-Pasquill شرح داده شده‌اند [۱].

چون پخش پیچکی هر فرایند تلاطمی است، تئوری آماری تلاطم را می‌توان در پخش تلاطمی بکار برد. در این حالت فرایند تلاطمی را می‌توان بوسیله یک تابع توزیع گوسی، که دارای ویژگی‌های آماری معینی است، توصیف کرد. با توجه به مطالب فوق، غلظت را می‌توان به صورت تابع زیر عرضه کرد.

$$\bar{C}(x,y,z) = \frac{Q}{2\pi\sigma_y\sigma_z\bar{u}} \exp\left[-0.5\left(\frac{(y-\bar{y})^2}{\sigma_y^2} + \frac{(z-\bar{z})^2}{\sigma_z^2}\right)\right] \quad (1)$$

از طرف دیگر چنانکه می‌دانیم پخش یک ستون دود در اطراف محور مرکزی آن صورت می‌گیرد، بنابراین می‌توان نوشت  $H = \bar{z} = \bar{y}$  که در آن  $H$  ارتفاع مؤثر چشم‌های است؛ بنابراین خواهیم داشت:

$$\bar{C}(x,y,z) = \frac{Q}{2\pi\sigma_y\sigma_z\bar{u}} \exp\left[-0.5\left(\frac{y^2}{\sigma_y^2} + \frac{(z-H)^2}{\sigma_z^2}\right)\right] \quad (2)$$

با توجه به اینکه بیشتر چشم‌های آلودگی در نزدیکی سطح زمین قرار دارند می‌توان گفت که در اکثر الگوهای پایداری جوی ستون دود رها شده از چشم‌های سطح زمین می‌رسد و این حالت باعث محدودیت پخش در سطح زمین خواهد شد. در حالت ایده‌آل، سطح زمین به عنوان یک سطح باز تابنده باعث بازگشت ستون دود به جو و افزایش غلظت در مجاورت سطح زمین می‌شود و این حالت با الگوی مدل گوسی که کاهش غلظت در لبه‌های ستون دود را پیش‌بینی می‌کند مغایرت دارد؛ برای رفع این مشکل فرض می‌شود که حالت انعکاس ستون دود از سطح زمین از یک چشم‌های مجازی که قرینه چشم‌های واقعی نسبت به سطح زمین است ناشی می‌شود با این تصحیح مدل پخش به صورت زیر درخواهد آمد [۲ و ۳] (شکل ۱).

$$\bar{C}(x,y,z) = \frac{Q}{2\pi\sigma_y\sigma_z\bar{u}} \exp\left[-0.5\left(\frac{y^2}{\sigma_y^2}\right)\right] \left\{ \exp\left[-0.5\left(\frac{(z-H)^2}{\sigma_z^2} + \frac{(z+H)^2}{\sigma_z^2}\right)\right] \right\} \quad (3)$$

مدل گوسی پخش مواد آلاینده جوی، به عنوان مطمئن‌ترین و کارآمیزترین روش در مطالعه روند پخش مواد از چشم‌های گوناگون آلودگی با ابعاد فیزیکی مختلف مانند: چشم‌های نقطه‌ای، خطی، سطحی و حجمی مطرح است. بدین سبب در اکثر مطالعات اوئیه یا تفصیلی درباره نصب و تأسیس صنایعی که به نوعی با رهاسازی دراز مدت مواد آلاینده در جو برای کاهش آن روبرو هستند، به صورت یک روش علمی-عملی در ارزیابی‌های زیست محیطی به کار می‌رود. مزیت مدل گوسی، قابلیت انعطاف پذیری آن در عمل می‌باشد، بطوریکه باعث شده است این مدل در اکثر مطالعات زیست محیطی در نواحی صنعتی و نیروگاهی به کار رود. هرچند مدل‌های عددی اخیراً بیشتر مورد توجه قرار گرفته‌اند، اما به علت پیچیده بودن و گران بودن این مدل‌ها و اختلاف اندک دقت آنها با مدل گوسی، در بیشتر موارد ترجیح داده می‌شود از مدل پخش گوسی استفاده شود. در مطالعات محیطی نیروگاه هسته‌ای بوشهر نیز این مدل ضمن بسطدادگی برای برآورد الگوی پخش سالیانه و در نهایت محاسبات دُز سالیانه فردی و جمعی، مورد استفاده قرار گرفته است. برای این منظور سه کد کامپیوترازی به نامهای ADIM3.0 و ADIM2.0 و ADIM1.0 به ترتیب جهت بررسی الگوی پخش مواد و محاسبات دُز با روش غربالگری در شرایط کاری و عملیاتی عادی نیروگاه طراحی شده است. در این نوشتار کد ADIM1.0 مورد بررسی قرار گرفته است.

## ۲- مدل گوسی پخش

مدلهای پخش بر اصول زیر استوارند:

- هر مدل پخش به طور مستقیم متناسب با مقدار مواد رها شده از چشم‌های است.

- هر مدل پخش بطور معکوس متناسب با سرعت باد در محل چشم‌های است.

- شامل تابعی است که نشان‌دهنده درجه آمیختگی متناسب با شدت تلاطم در محیط می‌باشد.

بدیهی است که با هیچ مدل فیزیکی نمی‌توان به طور کامل فرایند پخش تلاطمی در جو را بدست آورد. به همین جهت دو نظریه اساسی درباره پخش پیچکی از مدل گوسی ارائه شده



که در آن:  $\bar{C}_{LT}(x, i, j) = \bar{C}(x, y, z)$  غلظت آلاینده در نقطه‌ای به مختصات  $(x, y, z)$   
 جویی برای کل ۱۶ جهت بدست می‌آید، بنابراین، با در نظر گرفتن فراوانی جهت و سرعت باد برای هرمنطقه معادله نهایی پخش در دراز مدت به صورت زیر خواهد بود [۴ تا ۷]:

$$\bar{C}_{LT}(x, i, j) = r \cdot Q \sum_k \frac{f(i, j, k)}{u(k)} \sum_{n=-1}^{n=+1} \exp\left(-\frac{(H_i + 2nL_i)^2}{2\sigma_{z_i}^2}\right) \quad (4)$$

$$r = \frac{0.16}{\sqrt{2\pi^3} \sigma_{z_i} x} \quad \text{که،}$$

و  $C_{LT}(x, i, j) = \bar{C}(x, y, z)$  غلظت آلاینده‌ها در دراز مدت در سطح زمین در طبقه پایداری  $i$  و منطقه  $j$ ، در فاصله  $x$  از چشمۀ بر حسب  $Bq/m^3$ ، و یا  $kg/m^3$

$Q = \text{مقدار آلاینده رها شده از چشمۀ بر حسب } Bq/s \text{ یا } kg/s$

$x = \text{فاصله باد سو از چشمۀ بر حسب (m)}$

$\sigma_{z_i} = \text{ضریب پخش ستون دود در راستای قائم در طبقه پایداری } i \text{ بر حسب (m)}$

$f(i, j, k) = \frac{\text{فاکتور جویی در طبقه پایداری } i \text{ و منطقه } j \text{ و ردیف سرعت } k \text{ بر حسب مقدار درصد}}{u(k)}$

$H_i = \text{ارتفاع مؤثر چشمۀ در طبقه پایداری } i \text{ بر حسب (m)}$

$L_i = \text{ارتفاع لایه آمیختگی یا ارتفاع قاعده وارونگی در طبقه پایداری } i \text{ بر حسب (m)}$

و در نهایت، معادله ضریب پخش با واحد  $\frac{s}{m^3}$  در دراز مدت به صورت زیر خواهد بود:

$$DR(x, i, j) = r \cdot \sum_k \frac{f(i, j, k)}{u(k)} \sum_{n=-1}^{n=+1} \exp\left(-\frac{(H_i + 2nL_i)^2}{2\sigma_{z_i}^2}\right) \quad (5)$$

این معادله اساس گُد ADIM1.0 را تشکیل می‌دهد و با این گُد می‌توان کلیه پارامترهای معادله را ارزیابی کرد و اقلام زیادی را برای ارزیابی‌های گوناگون در اختیار کاربر قرار داد. در ادامه مشخصات هواشناسی نیروگاه بوشهر و پارامترهای مربوط به طراحی دودکش واحد یکم این نیروگاه برای پخش رادیونوکلئیدها در جوّ که مورد نیاز این گُد می‌باشد بیان شده است.

که در آن:  $\bar{C}(x, y, z) = \bar{C}(x, y, z)$  غلظت آلاینده در نقطه‌ای به مختصات  $(x, y, z)$   
 بر حسب  $Bq/m^3$  یا  $kg/m^3$

$Q = \text{نرخ رهاسازی آلاینده از چشمۀ آلدگی بر حسب } kg/s \text{ یا } Bq/s$

$\sigma_{y,z} = \text{ضرایب پخش ستون دود در جهات افقی و عمودی بر حسب (m)}$

$\bar{u} = \text{سرعت میانگین باد در محل رهاسازی آلاینده بر حسب (m/s)}$

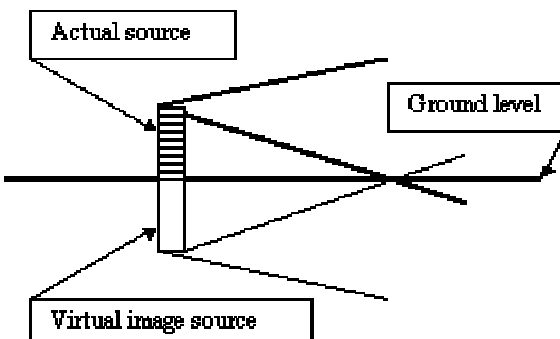
$y = \text{فاصله جانبی نقطه نمونه برداری از محور مرکزی ستون دود بر حسب (m)}$

$z = \text{فاصله نقطه نمونه برداری از محور مرکزی ستون دود بر حسب (m)}$

$H = \text{ارتفاع فیزیکی دودکش بر حسب (m)}$

### ۳- الگوی پخش در دوره دراز مدت

با توجه به اینکه رهاسازی مواد آلاینده در جوّ از واحدهای صنعتی بطور پیوسته و در دوره دراز مدت صورت می‌گیرد بنابراین، مسأله برآورد الگوی پخش و محاسبه غلظت عناصر آلاینده بسیار مهم است؛ از طرفی پخش دراز مدت در واقع پخش در تمام جهات جغرافیایی برای دوره‌ای طولانی، مثلاً فصلی، سالیانه و غیره صورت می‌گیرد؛ بنابراین، در محاسبات پخش دراز مدت از داده‌های آماری «گلbad» که شامل فراوانی، جهت و سرعت باد در رده‌های مختلف پایداری جویی است استفاده می‌شود و معمولاً محاسبات در ۱۶ جهت و به صورت



شکل ۱- برخورد ستون دود با سطح زمین و تصویر چشمۀ مجازی

**جدول ۱- پارامترهای فیزیکی دودکش واحد یکم نیروگاه**

واحد	مقدار	علامت	پارامترهای دودکش
m	۱۰۰	h	ارتفاع
m	۴	d <sub>s</sub>	قطر خارجی
m	۳،۴۵	d <sub>e</sub>	قطر داخلی
m/s	۶،۳۵	w	سرعت خروجی گاز
K	۳۰۰	T <sub>s</sub>	دماخ خروجی گاز
K	۳۰۰	T <sub>a</sub>	دماخ محیط در ارتفاع رها سازی
Cal/s	۰	Q	گرمای خروجی

جدول ۲ نتایج مربوط به فراوانی جهت وزش باد در پایداریهای مختلف جوی و شکل ۲ نمودار توزیع جهت‌های میدان باد را نشان می‌دهد. بطوریکه مشاهده می‌شود، توزیع جهت وزش باد در منطقه، گرایش به جهت‌های شمال (N)، شمال غربی (NW) و به شمال از شمال غربی (NNW) دارد و با الگوی کلی میدان باد در بوشهر، که به آن اشاره شد تطبیق می‌کند. جدولهای ۲ و ۳ مشتمل بر محاسبات فاکتور جوی مورد نیاز در محاسبات پخش است که در معادله ۵ اشاره شده است، نمودار این محاسبات در شکل ۳ نشان داده شده است. این شکل نشان می‌دهد که توزیع جهت میدان باد مربوط به جهت‌های N - NNW و NW است و مؤید صحیح بودن محاسبات انجام شده به وسیله کُد مورد نظر می‌باشد. لازم به ذکر است که در شکل‌های ۲ و ۳، یک توزیع ثانویه مربوط به جهت‌های جنوبی منطقه نیز وجود دارد و ایجاد گردش‌های محلی میدان باد را که در واقع همان نسیم دریا - خشکی است، نشان می‌دهد و محاسبه سرعت و فراوانی باد در جهات و در الگوهای پایداری مختلف، این مطلب را تأیید می‌کند.

دومین پارامتر جوی مهم در محاسبات پخش، برآورد ارتفاع لایه آمیخته در طبقه‌های پایداری مختلف است. این مقادیر با توجه به داده‌های حاصله ازمنابع مطالعاتی در جدول ۴ مندرج است.

#### ۴- اجرای مدل در برآورد الگوی پخش جوی واحد یکم نیروگاه هسته‌ای بوشهر

ویزگیهای مورد نیاز برای اجرای مدل به سه دسته تقسیم می‌شوند:

- پارامترهای فیزیکی دودکش واحد یکم نیروگاه
- مشخصات اقلیمی و هواشناسی محل نیروگاه
- انتخاب فاصله‌ها برای محاسبه ضریب پخش

#### ۴-۱ پارامترهای فیزیکی دودکش واحد یکم نیروگاه

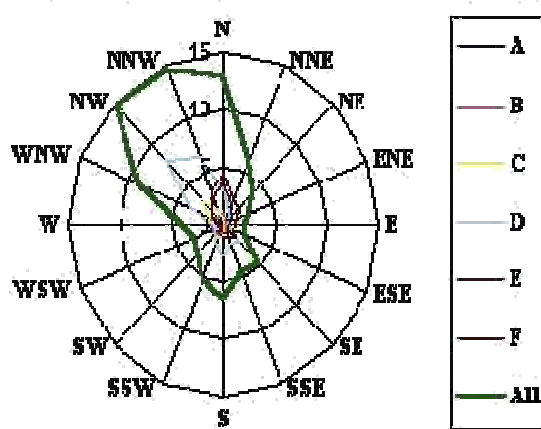
واحد یکم نیروگاه هسته‌ای بوشهر دارای یک دودکش به ارتفاع ۱۰۰ متر برای رهاسازی رادیونوکلئیدها به جو است. پارامترهای این دودکش در جدول ۱ مندرج است.

#### ۴-۲ مشخصات اقلیمی و هواشناسی محل نیروگاه (سایت)

سایت بوشهر در ردیف سایتهای ساحلی بوده و از لحاظ شرایط پایداری جوی در گروه مناطق خشی محسوب می‌شود؛ به عبارت دیگر در طبقه D از طبقه‌های پایداری جوی پاسکویل-گیفورد (Pasquill-Gifford) قرار می‌گیرد. ویژگی مهم نواحی ساحلی وجود سیستم‌های نسیم دریا - خشکی است که باعث ایجاد گردش‌های محلی میدان باد در منطقه می‌شود. با این توضیح، دو رژیم اصلی میدان باد ممکن است الگوی پخش مواد را در منطقه تحت تأثیر قرار دهد: ۱- رژیم سالیانه باد در بوشهر و نیروگاه آن که مربوط به شرایط اقلیمی حاکم بر منطقه بوده و رژیم باد شمال غربی دارد که با افزایش ارتفاع از سطح زمین به باد معروف شمال در منطقه تبدیل می‌شود. ۲- وجود گردش‌های محلی میدان باد که مربوط به سیستم نسیم دریا - خشکی بوده و کمایش در طول سال قابل مشاهده است. داده‌های هواشناسی مورد نیاز در تهیه گلباد سالیانه ارتفاع دودکش (۱۰۰ متر) در سایت بوشهر، از اطلاعات ایستگاه هواشناسی سایت استخراج و تهیه شده است. دکل نیروگاه دارای ارتفاع ۱۰۰ متر است و پارامترهای جوی، از جمله دما، سرعت و جهت باد را در چهار تراز ۱۰، ۴۵، ۸۰ و ۱۰۰ متری اندازه گیری کرده و در آرایشهای متغیر قابل پردازش ذخیره می‌نماید. داده‌های آماری جمع‌آوری شده برای تهیه گلباد در دوره ۲۰۰۱-۲۰۰۱ میلادی ثبت و پردازش شده‌اند.

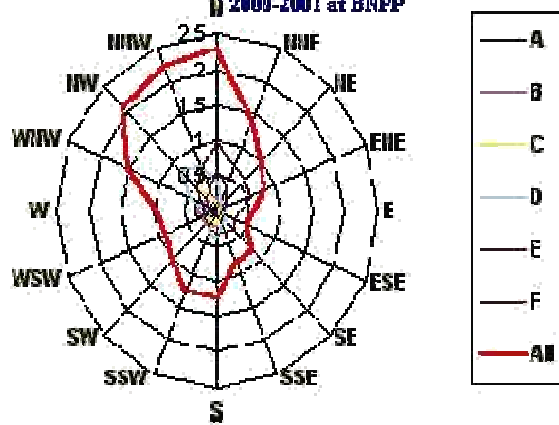


**Annual joint frequency distribution (%) of wind direction at stability classes for 2000-2001 at BNPP**



شکل ۲- نمودار توزیع سالیانه فراوانی میدان باد در جهت‌های مختلف(%) و در طبقه‌های پایداری مختلف

**Annual distribution of weather factor (%) ( $w^f = \theta_u$ ) at each stability class and wind direction at release height for 2000-2001 at BNPP**



شکل ۳- نمودار توزیع سالیانه فاکتور جوی(%) در جهت‌ها و طبقه‌های پایداری مختلف

**جدول ۳- مقادیر ارتفاع لایه آمیخته در طبقه‌های پایداری مختلف**

مقادیر ارتفاع لایه آمیخته	طبقه پایداری
۱۶۰۰ متر	A
۱۰۰۰ متر	B
۷۰۰ متر	C
۵۰۰ متر	D
۳۰۰ متر	E
۲۰۰ متر	F

**جدول ۲- توزیع سالیانه مقدار درصد فراوانی میدان باد در جهت‌ها و طبقه‌های پایداری مختلف**

Direction	A	B	C	D	E	F	All
N	0.2	0.85	0.55	3.14	3.77	4.42	12.93
NNE	0.06	0.36	0.23	1.23	1.93	2.47	6.28
NE	0.06	0.1	0.09	0.71	0.93	2.03	3.92
ENE	0.04	0.1	0.04	0.38	0.55	1.52	2.63
E	0.02	0.12	0.04	0.42	0.47	1.04	2.11
ESE	0.05	0.09	0.08	0.68	0.36	0.96	2.22
SE	0.07	0.17	0.09	2	0.72	1.5	4.55
SSE	0.06	0.34	0.25	1.83	0.8	1.29	4.57
S	0.07	0.82	1.02	2.86	0.7	1.08	5.53
SSW	0.11	0.93	1.28	1.83	0.38	0.69	5.22
SW	0.09	1.02	1.02	0.86	0.19	0.45	3.63
WSW	0.04	0.98	0.67	0.66	0.28	0.49	3.12
W	0.04	1.28	0.89	1.03	0.51	0.41	4.16
WNW	0.09	1.09	1.72	3.71	1.28	0.92	8.81
NW	0.11	0.83	2.66	7.87	1.71	1.5	14.68
NNW	0.09	0.85	1.46	6.48	2.61	3.18	14.67

**جدول ۳- توزیع سالیانه فاکتور جوی(%) در جهت‌ها و طبقه‌های مختلف پایداری در ارتفاع رهاسازی**

Direction	A	B	C	D	E	F	All
N	0.0743	0.204	0.0942	0.401	0.543	0.967	2.2835
NNE	0.0341	0.088	0.0444	0.173	0.379	0.684	1.4025
NE	0.0316	0.0295	0.0163	0.0939	0.181	0.636	0.9883
ENE	0.0208	0.0322	0.00675	0.0509	0.124	0.551	0.78565
E	0.01	0.0377	0.016	0.0661	0.0797	0.359	0.5685
ESE	0.0143	0.0269	0.0156	0.0704	0.0674	0.291	0.4856
SE	0.0261	0.0497	0.028	0.188	0.091	0.382	0.7648
SSE	0.04	0.0934	0.043	0.196	0.0959	0.339	0.8073
S	0.0264	0.215	0.183	0.375	0.111	0.32	1.2304
SSW	0.039	0.247	0.244	0.341	0.0833	0.286	1.2403
SW	0.0435	0.264	0.194	0.172	0.0642	0.218	0.9557
WSW	0.016	0.255	0.132	0.135	0.08	0.226	0.844
W	0.0142	0.329	0.176	0.166	0.0851	0.161	0.9313
WNW	0.0383	0.274	0.282	0.434	0.163	0.288	1.4793
NW	0.0385	0.2	0.409	0.793	0.207	0.404	2.0515
NNW	0.0381	0.211	0.228	0.692	0.368	0.661	2.1981

جدول ۵ مندرج است. به طوری که در جدول مشخص است، بیشترین مقدار پخش در ستون SE با مقدار 6.80E-08 بوده و در فاصله ۱۰۵۴ متری از چشمه بوده است که از الگوی جهت میدان باد پیش گفته پیروی می‌کند. اثر مربوط به سیستم نسیم دریا - خشکی در ستون NNE و با مقدار 5.46E-08 نمایان است، این بیشینه در فاصله ۷۸۸ متری از دودکش حاصل شده است. برای تحلیل و بررسی بهتر، به وسیله کد می‌توان یک فایل برای ترسیم کنتوری الگوی پخش ایجاد کرد و کاربر با فرآخوانی این فایل در نرم افزار *surfer*، قادر خواهد بود الگوی کنتوری پخش در منطقه را مشاهده کند. در مورد سایت بوشهر، الگوی کنتوری با توجه به داده‌های موجود تا شعاع ۱۰ کیلومتری ترسیم و در شکل ۴ نشان داده شده است. به طوری که مشاهده می‌شود بیشترین مسیر پخش دود در جهت وزش باد در منطقه و در نواحی SSE - SE و S می‌باشد. در این شکل الگوی مربوط به سیستم نسیم دریا - خشکی نیز به خوبی قابل مشاهده بوده و پخش در نواحی NNE و NE و N را نشان می‌دهد.

#### ۴-۳ انتخاب فواصل برای محاسبه فاکتور پخش

انتخاب فواصل برای انجام محاسبات به وسیله کد به دو صورت امکانپذیر است:

الف- فواصل بطور خودکار در مقیاس لگاریتمی به وسیله کد معین شوند. این روش برای یافتن بیشینه مقدار پخش و فاصله آن از چشمه مناسب است.

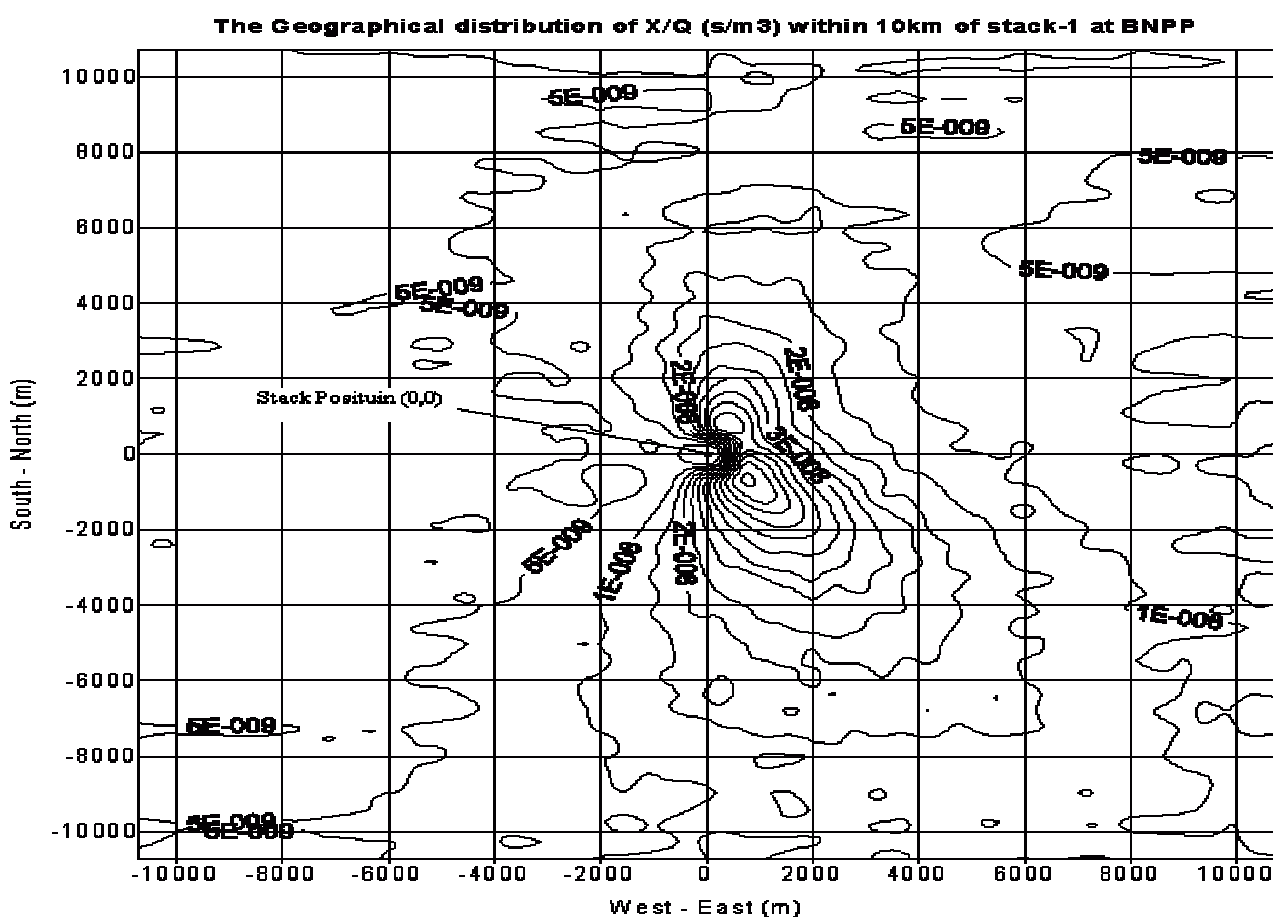
ب- فواصل به صورت دستی و دلخواه و با توجه به محل نمونهبرداری‌های احتمالی توسط کاربر به هنگام اجرای کد تعیین شوند.

در تهیه الگوی پخش برای واحد یکم نیروگاه هسته‌ای بوشهر و مکان یابی بیشینه پخش، از حالت الف استفاده شده است.

#### ۵- محاسبه فاکتور پخش و الگوی سالیانه پخش جوی

##### واحد یکم نیروگاه هسته‌ای بوشهر

با توجه به داده‌های گردآوری شده مربوط به گلبداد منطقه و همچنین پارامترهای مربوط به دودکش واحد یکم نیروگاه، فاکتور پخش در منطقه تا شعاع ۱۰ کیلومتری محاسبه شده و در



شکل ۴- الگوی سالیانه فاکتور پخش تا شعاع ۱۰ کیلومتری واحد یکم نیروگاه هسته‌ای بوشهر



جدول ۵- محاسبات فاکتور پخش ( $s/m^3$ ) تا شعاع ۱۰ کیلومتری واحد یکم نیروگاه هسته ای بوشهر

X(m)	N	NNE	NE	ENE	E	ESE	SE	SSE
104	2.21E-15	3.27E-15	3.65E-15	1.34E-15	1.19E-15	3.21E-15	3.22E-15	3.20E-15
138	3.78E-12	5.58E-12	6.22E-12	2.29E-12	2.03E-12	5.48E-12	5.50E-12	5.46E-12
185	2.25E-10	3.32E-10	3.70E-10	1.37E-10	1.22E-10	3.27E-10	3.28E-10	3.25E-10
247	1.90E-09	2.72E-09	3.02E-09	1.30E-09	1.27E-09	2.71E-09	2.63E-09	2.62E-09
330	8.25E-09	1.08E-08	1.17E-08	7.48E-09	8.71E-09	1.12E-08	9.78E-09	9.92E-09
441	2.24E-08	2.75E-08	2.93E-08	2.31E-08	2.87E-08	2.97E-08	2.49E-08	2.46E-08
590	3.76E-08	4.56E-08	4.67E-08	3.89E-08	4.95E-08	5.02E-08	4.56E-08	4.06E-08
788	4.48E-08	<b>5.46E-08</b>	5.32E-08	4.42E-08	5.68E-08	6.10E-08	6.19E-08	4.99E-08
1054	4.39E-08	5.29E-08	4.86E-08	3.97E-08	5.12E-08	5.99E-08	<b>6.80E-08</b>	5.20E-08
1408	3.90E-08	4.56E-08	3.90E-08	3.14E-08	4.05E-08	5.26E-08	6.62E-08	5.05E-08
1882	3.30E-08	3.69E-08	2.93E-08	2.34E-08	3.01E-08	4.35E-08	5.98E-08	4.69E-08
2515	2.68E-08	2.87E-08	2.13E-08	1.70E-08	2.17E-08	3.47E-08	5.06E-08	4.14E-08
3361	2.09E-08	2.16E-08	1.51E-08	1.22E-08	1.54E-08	2.67E-08	4.05E-08	3.47E-08
4492	1.57E-08	1.58E-08	1.06E-08	8.72E-09	1.09E-08	1.99E-08	3.10E-08	2.77E-08
6003	1.16E-08	1.14E-08	7.47E-09	6.23E-09	7.65E-09	1.46E-08	2.29E-08	2.13E-08
8022	8.44E-09	8.16E-09	5.34E-09	4.54E-09	5.49E-09	1.06E-08	1.66E-08	1.61E-08
10721	6.15E-09	5.88E-09	3.87E-09	3.36E-09	3.99E-09	7.68E-09	1.20E-08	1.20E-08
X(m)	S	SSW	SW	WSW	W	WNW	NW	NNW
104	6.23E-15	2.86E-15	2.65E-15	1.75E-15	8.38E-16	1.20E-15	2.19E-15	3.35E-15
138	1.06E-11	4.88E-12	4.52E-12	2.98E-12	1.43E-12	2.04E-12	3.74E-12	5.72E-12
185	6.32E-10	2.90E-10	2.68E-10	1.77E-10	8.51E-11	1.21E-10	2.22E-10	3.40E-10
247	4.87E-09	2.23E-09	2.00E-09	1.34E-09	6.67E-10	9.22E-10	1.69E-09	2.60E-09
330	1.51E-08	6.82E-09	5.27E-09	3.73E-09	2.24E-09	2.66E-09	4.87E-09	7.80E-09
441	2.99E-08	1.33E-08	8.23E-09	6.37E-09	4.83E-09	4.80E-09	8.82E-09	1.48E-08
590	4.10E-08	1.81E-08	9.44E-09	7.67E-09	6.91E-09	6.25E-09	1.15E-08	1.97E-08
788	4.27E-08	1.89E-08	8.94E-09	7.19E-09	7.33E-09	6.44E-09	1.20E-08	2.03E-08
1054	3.89E-08	1.73E-08	7.87E-09	5.98E-09	6.69E-09	5.95E-09	1.16E-08	1.84E-08
1408	3.44E-08	1.53E-08	7.07E-09	4.94E-09	5.88E-09	5.41E-09	1.13E-08	1.62E-08
1882	3.07E-08	1.40E-08	6.65E-09	4.33E-09	5.18E-09	4.92E-09	1.09E-08	1.42E-08
2515	2.77E-08	1.32E-08	6.42E-09	4.04E-09	4.59E-09	4.43E-09	9.91E-09	1.21E-08
3361	2.44E-08	1.22E-08	6.05E-09	3.78E-09	3.98E-09	3.85E-09	8.51E-09	9.94E-09
4492	2.06E-08	1.08E-08	5.40E-09	3.40E-09	3.34E-09	3.21E-09	6.92E-09	7.84E-09
6003	1.68E-08	9.16E-09	4.65E-09	2.99E-09	2.75E-09	2.61E-09	5.43E-09	6.03E-09
8022	1.34E-08	7.53E-09	3.93E-09	2.60E-09	2.25E-09	2.10E-09	4.21E-09	4.60E-09
10721	1.05E-08	6.07E-09	3.27E-09	2.23E-09	1.84E-09	1.69E-09	3.23E-09	3.49E-09

مدلهای توزیع گوسی، به منظور نیل به چنین هدفی برای تهیه کدهای استاندارد در زمینه کنترل آلودگی، به ویژه در نیروگاههای اتمی تهیه شده است. لازم به ذکر است که این کد ADIM3.0 و ADIM2.0 به همراه دو کد دیگر به نامهای ADIM3.0 و ADIM2.0 که به منظور محاسبات دُز فردی و جمعی در موارد رهاسازی در جوّ و تخلیه مایعات تهیه شده است مورد تأیید کارشناسان آژانس بین المللی انرژی اتمی قرار گرفته است. با توجه به سیاست هسته ای ایران در مورد ایجاد نیروگاههای اتمی برای تولید برق، با تهیه کدهای کامپیوتری برای گزارشها مهم زیست محیطی بر طبق استانداردهای آژانس بین المللی انرژی اتمی، می توان راه را برای نهادینه کردن استانداردهای طراحی و ساخت نیروگاه در ایران، هموار ساخت و در تبیین چنین استانداردهای بین المللی سهمی را به خود اختصاص داد.

## ۶- بحث و نتیجه گیری

با توجه به صنعتی شدن جوامع بشری بدینه است که شناخت آلاندنهای، نحوه گسترش و کنترل و کاستن آنها به منظور حفاظت بیشتر از محیط زیست، به عنوان مهمترین عامل در ادامه حیات بشری، از اهمیّت غیر قابل انکاری برخوردار است. در این راستا تعیین الگوهای مناسب برای پخش مواد آلاندنه در محیطهای صنعتی به ویژه نیروگاهی به منظور یافتن محل مناسب برای نصب تأسیسات و همچنین یافتن محل حدوث و جهت انتشار حداکثر غلظت آلاندنهای و یا حداکثر دُز ناشی از پخش رادیونوکلئیدها در جوّ بسیار حیاتی است. بطوریکه با چنین ارزیابیهایی می توان هزینه های طراحی را به حداقل رسانده، نحوه رهاسازی آلاندنهای و مقدار آنها را برای کاهش هرچه بیشتر آلدگی محیط زیست بدست آورد. کد ADIM1.0 براساس

در جو با محاسبات مشابه انجام شده توسط کارشناسان آزانس بین المللی انرژی اتمی (IAEA) مقایسه و محاسبات از دقت بسیار خوبی برخوردار می‌باشد. همچنین گزارش محیطی نیروگاه بوشهر مورد تأیید کارشناسان آزانس واقع گردیده است [۸].

#### ۷- اعتبار بخشی محاسبات

لازم به ذکر است که محاسبات انجام شده توسط این کد جهت تهیه الگوی پخش مواد آلاینده در نیروگاه هسته‌ای بوشهر و محاسبات دُز فردی و جمعی ناشی از رهاسازی رادیونوکلئیدها

#### References:

1. K.B. Schnelle and D.R. Dey, "Atmospheric - Hill, 6.17-12.8 (2000). dispersion modeling compliance guide," school of engineering Vanderbilt university Nashville, Tennessee, McGraw
2. US-EPA, "Workbook of atmospheric dispersion," Triangle Park, N.C, 10-35 (1972).
3. D.H. Slade, "Meteorology and atomic energy," U.S. Atomic Energy Commission, TID-24190, clearinghouse for federal scientific and technical information, national bureau of standards, U.S.department of commerce, 250-300 (1968).
4. NRPB-R198, "Modeling wet deposition from a short release," (1986).
5. IAEA-No.50-SG-S3, "Atmospheric dispersion in nuclear power plant siting," (1980).
6. NRPB-R91, "A model for short and medium range dispersion of radionuclides released to the atmosphere," (1979).
7. EUR-15760, "Methodology for assessing the radiological consequences of routine releases of radionuclides to the environment," 12-35 (1995).
8. NPPD, Sakht-Iran Engineering and Technical Co, "BNPP-1 Environmental Report," (2002).